

# **Geosensornetze**

## **WS 2013/2014**

Hausarbeit von  
Andre Lehnert und Marcell Salvage

11. Februar 2014

# Inhaltsverzeichnis

<b>1</b>	<b>Einführung</b>	<b>1</b>
1.1	Aufgabenbeschreibung . . . . .	1
<b>2</b>	<b>Simulationsumgebung</b>	<b>3</b>
2.1	Benutzerschnittstelle . . . . .	3
2.1.1	Benutzerevents . . . . .	3
2.1.2	Generelle Parameter . . . . .	5
2.1.3	Personen-Parameter . . . . .	6
2.1.4	Event-Parameter . . . . .	7
2.1.5	Notausgang-Parameter . . . . .	7
2.1.6	Gradient localization-Parameter . . . . .	8
2.2	Personen . . . . .	8
2.2.1	Lebenszyklus . . . . .	8
2.2.2	Bewegungsmodell . . . . .	10
2.2.3	Kommunikationsmodell . . . . .	11
2.3	Notausgänge . . . . .	12
2.3.1	Lebenszyklus . . . . .	14
2.3.2	Kommunikationsmodell . . . . .	14
2.4	Gefahrensituationen . . . . .	15
2.4.1	Lebenszyklus . . . . .	15
2.5	Patches . . . . .	17
2.5.1	Implizite Zustände . . . . .	17
2.6	Ressourcen der Simulationsumgebung . . . . .	19
<b>3</b>	<b>Algorithmik</b>	<b>21</b>
3.1	Gradienten Lokalisierung . . . . .	21
3.2	Zellulärer Automat . . . . .	22
<b>4</b>	<b>Evaluation</b>	<b>23</b>
4.1	Effizienz . . . . .	23
4.2	Fazit . . . . .	23

<i>Inhaltsverzeichnis</i>	3
---------------------------	---

---

4.3 Ausblick . . . . .	23
------------------------	----

<b>Literaturverzeichnis</b>	<b>i</b>
-----------------------------	----------

# 1 Einführung

Mit Hilfe der NetLogo-Simulationsumgebung [3] wird eine dynamische Evakuierung von Gebäuden implementiert. Dazu werden die Grundrisse der Gebäude oder Etage in die Simulationsumgebung geladen. Diese dient als Grundlage für die Platzierung von Personen, Gefahrenereignissen und Notausgängen.

Auf der Flucht vor Gefahrenereignissen werden die Personen von mobilen Geräten unterstützt, die zur Warnung anderer Personen und zur Lokalisierung der Notausgänge dienen.

## 1.1 Aufgabenbeschreibung

Die Aufgabe besteht in der Umsetzung einer geeigneten Simulationsumgebung (siehe Kapitel 2). Auf deren Basis Algorithmen zur Lokalisierung und Bestimmung eines Fluchtweges zu den Notausgängen entwickelt werden (siehe Kapitel 3). Schließlich wird eine Evaluation der Algorithmen in Punkten Effizienz und Zuverlässigkeit durchgeführt und Reflektiert (siehe Kapitel 4).

Personen werden in der NetLogo-Umgebung als Agenten realisiert, die sich nach dem Bewegungsmodell (siehe Abschnitt 2.2.2) innerhalb des Grundrisses bewegen. Die initiale Platzierung geschieht zufällig, analog zu der Platzierung der Gefahrenereignisse. Personen besitzen die Fähigkeit diese Gefahrenereignisse in ihrer Umgebung wahrzunehmen und als Gefahrensituation zu deuten. Die Personen versuchen daraufhin den besten Weg zu einem Notausgang zu finden und benachbarte Personen dabei über ihre mobilen Geräte zu warnen.

Als Gefahrensituationen (siehe Abschnitt 2.4) zählt eine gewisse Anzahl von Giftgasbomben mit eingebautem Zeitzünder, die je ein Gefahrenereignis darstellen. Die freigesetzten Gasmengen sind regulierbar und breiten sich innerhalb des freien Raumes aus.

Zur Evakuierung der Personen aus dem Gefahrenereignis werden Notausgänge (siehe Abschnitt 2.3) in dem Grundriss platziert, deren Position sich während der Simulation nicht ändert, sogenannte *anchor notes*.

Eine feste Position ist notwendig zur Realisierung der dezentralen Lokalisierungs-

algorithmen, die auf den mobilen Geräten der Personen aktiv sind und bei einer dynamischen Evakuierung assistieren. Durch eine lokal eingeschränkte Kommunikationsfähigkeit (siehe Abschnitt 2.2.3) werden Informationen über die Passierbarkeit der Notausgänge an die mobilen Geräte verteilt. Dies ermöglicht die sichere Evakuierung, falls beispielsweise das Giftgas einen Notausgang erreicht hat oder die Fluchtwege blockiert sind.

## 2 Simulationsumgebung

Das Kapitel der Simulationsumgebung befasst sich mit den Eingabemöglichkeiten zur Anpassung der Simulationsparameter, sowie der konkreten Umsetzung der simulierten Welt, mit der Logik für die Notausgänge, der Personen, der Gefahrensituationen und dem Kommunikationsmodell.

Die Ausgangsbasis für die verwendeten Modelle und Protokolle stammen aus den erstellten Übungen zur Vorlesung Gensensornetze, sie wurden jedoch auf die Anforderungen der Hausarbeit adaptiert.

### 2.1 Benutzerschnittstelle

In diesem Abschnitt werden die Interaktions- und Konfigurationsmöglichkeiten mit der Simulationsumgebung erläutert. Abbildung 2.1 stellt einen Ausschnitt des grafischen Interfaces von NetLogo da, anhand dessen die Erklärungen in den folgenden Abschnitten besser einzuordnen sind.

#### 2.1.1 Benutzerevents

Zum Auslösen von Benutzerevents werden Buttons verwendet. Zu diesen zählen `setup`, `reset` und `go`, die hier kurz beschrieben werden.

##### **setup-Button**

Die Betätigung des `setup`-Buttons ruft eine Folge von Setup und Initialisierungsschritten auf. Zu Beginn wird die Simulationswelt erstellt. Dazu wird der Parameter `inputFile` (siehe Abschnitt 2.1.2) zum Einbinden einer Bild-Datei und das Mapping der Pixel-Farbwerte auf die passend skalierte NetLogo-Welt gemappt. Das Ergebnis ist der gewählte Grundriss, bei dem jedes Patch einen Farbwert erhalten hat.

Dieser Farbwert ist essentiell für den nachfolgenden Schritt in der `setup-patches`-Methode. Diese legt den Initialzustand jedes Patches fest (siehe Abschnitt 2.5).

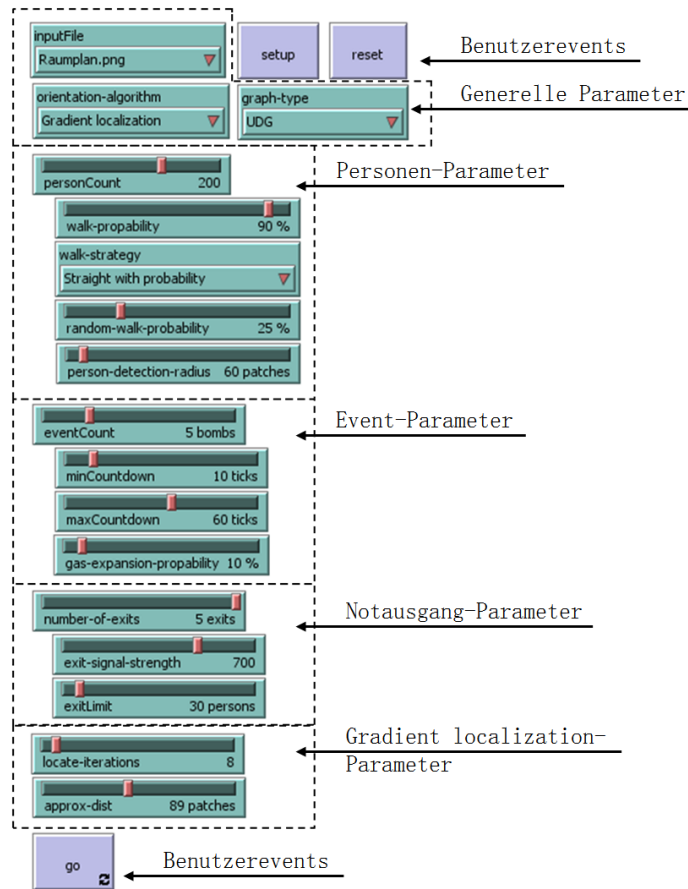


Abbildung 2.1: Grafische Oberfläche

Generell wird auf Grund des Grundrisses zwischen leerem Raum (weiß) und einer Wand unterschieden (schwarz).

Wände spielen auch bei der Initialisierung und Platzierung der Notausgänge eine wichtige Rolle, die mit der `setup-exits`-Methode realisiert sind. Entsprechend der Aufgabenstellung werden Notausgänge auf einem abstrakten Grundriss, ohne Wände, zufällig in der Welt platziert. Für alle anderen Grundrisse mit Wänden wurde auf statische vordefinierte Positionen für Notausgänge gesetzt.

Bei der Initialisierung wird zudem die lokale Konstante der maximalen Signalreichweite für den Orientierungsalgorithmus *cellular automaton* mit dem Parameter `exit-signal-strength` aus Abschnitt 2.1.5 gesetzt und alle Notausgänge in den Zustand *INIT* versetzt (vgl. Abschnitt 2.3).

Im Anschluss wird der *cellular automaton*-Algorithmus (siehe Abschnitt 3.2) ausgeführt, um die Patches mit Signalqualitätsinformationen auszustatten, damit die Personen den optimalen Fluchtweg bei einer Gefahrensituation nutzen.

Nachdem die Simulationswelt mit den statischen Elementen vorbereitet wurde, werden die Personen initialisiert und platziert. Dies geschieht mit der Methode **setup-persons**. Hier wird eine definierte Anzahl von Personen erstellt (siehe Abschnitt 2.1.3, die auf einem abstrakten Grundriss zufällig und auf allen anderen zufällig mit einer Wand-Detektion platziert werden. Die Personen befinden sich nun im Zustand *INIT* (vgl. Abschnitt 2.2.2).

Nach der Platzierung wird einmalig ein Kommunikationsgraph zwischen den Personen und den Notausgängen erstellt, damit der Nutzer ggf. den Graph-Typen oder die Kantenlänge anpassen kann (siehe Abschnitt 2.1.3).

Als letzter Schritt folgt die Initialisierung und Platzierung der Gefahrenereignisse mittels **setup-events**. Die analog zu den Personen auf dem abstrakten Grundriss zufällig und bei allen anderen Grundrissen mit Wand-Detektion platziert werden. Danach befinden sich alle Gefahrenereignisse im Zustand *INIT* (vgl. Abschnitt 2.4).

### **reset-Button**

Mit dem **reset**-Button werden alle definierten Parameter des letzten Setups wiederhergestellt und die Personen auf ihre ursprüngliche Position zurückgesetzt. Ein fluten des Grundrisses ist nicht erforderlich und beschleunigt das durchführen von Messreihenreihen. Zudem bietet es die Möglichkeit den Kommunikationsgraphen der Personen auszublenden, dies ist unter anderem nützlich bei der Darstellung der initial approximierten Positionen der Personen.

### **go-Button**

Schließlich kann die Simulation mit dem **go**-Button gestartet und pausiert werden, da hier die *forever*-Option aktiv ist. Ist diese deaktiviert, wird pro Betätigung des **go**-Buttons nur ein *Tick* durchgeführt.

## **2.1.2 Generelle Parameter**

Der Parameter **input-file** erlaubt die Definition des Grundrisses der Simulationsumgebung. Während des Setups wird der Parameter zur Pfadauflösung für eine Bild-Datei verwendet. Diese wird mit dem Befehl **import-pcolors inputFile** auf die Simulationswelt gemappt.



$$\text{input-file} \in \{Abstract.png, Abstract\_static.png, Simple.png, Raumplan.png\}$$

Der nächste generelle Parameter ist **orientation-algorithm**. Dieser dient der Auswahl eines Algorithmus zur Orientierung und Lokalisierung der Personen. Detaillierte Informationen sind im Kapitel 3 aufgeführt.

$$\text{orientation-algorithm} \in \{Cellular\ automaton, Gradient\ localization\}$$

Mit dem **graph-type**-Parameter hat der Nutzer die Wahl zwischen den Graph-typen, die in der Vorlesung vorgestellt wurden. Sofern *UDG* gewählt ist, wird der **person-detection-radius**-Parameter des folgenden Abschnitts für den Disk-Radius verwendet.

$$\text{graph-type} \in \{Complete\ Graph, UDG, RNG, GG\}$$

### 2.1.3 Personen-Parameter

**person-count** definiert die Anzahl der Personen in der Simulationsumgebung.

$$\text{person-count} \in [1, 300]$$

Mit dem **walk-probability**-Parameter wird die Wahrscheinlichkeit definiert, mit der Personen bei einem Tick einen Schritt machen. Bei 0% werden die Personen statisch an der gegenwärtigen Position fixiert. Es ist also möglich diesen Parameter während der Laufzeit zu verändern.

$$\text{walk-probability} \in [0, 100]$$

Der **walk-strategy**-Parameter erlaubt die Auswahl der *random walk*-Strategie (siehe Abschnitt 2.2.2).

$$\text{walk-strategy} \in \{Complete\ random, Straight\ with\ collision\ detection, Straight\ with\ probability\}$$

Analog zur **walk-probability** kann der Nutzer den **random-walk-probability**-Parameter zur Laufzeit anpassen und somit die Wahrscheinlichkeit der *random walk* Richtungsänderung bestimmen. Bei 100% wird jede Person nach jedem Tick eine Richtungsänderung vornehmen.

$$\text{random-walk-probability} \in [0, 100]$$

Der **person-detection-radius**-Parameter ist einer der entscheidendsten bei der Simulation. Hiermit wird der Radius definiert in dem eine Person eine Gefahrensituation wahrnehmen kann, sowie die Kommunikationsreichweite bei dem UDG-Graphen

bestimmt. Zudem wird damit der Abstand zu einem Notausgang bestimmt (siehe Kapitel 3).

$$\text{person-detection-radius} \in [0, 700]$$

#### 2.1.4 Event-Parameter

Mit dem Parameter `event-count` wird die Anzahl der zu platzierenden Gefahrenereignisse festgelegt. Bei `event-count`= 0 wird es zu keiner Gefahrensituation kommen, sodass der random-walk getestet werden kann.

$$\text{event-count} \in [0, 20]$$

In der Aufgabenstellung wird ein zufälliges Auslösen von Gefahrensituationen gefordert, die beiden Parameter `min-countdown` und `max-countdown` bewerkstelligen dies. Jedes einzelne Gefahrenereignis erhält zufällig einen initialen Countdown im Intervall  $[\text{min-countdown}, \text{max-countdown}]$ . Die obere bzw. untere Intervallgrenze der Parameter wird durch den jeweils anderen Parameter eingeschränkt.

$$\text{min-countdown} \in [1, \text{max-countdown}]$$

$$\text{max-countdown} \in [\text{min-countdown}, 100]$$

Der Parameter `gas-expansion-probability` legt für alle Gefahrenereignisse die Ausbreitungswahrscheinlichkeit und somit die Ausbreitungsgeschwindigkeit fest. Bei 0% wird nur genau ein Patch unter dem jeweiligen Gefahrenereignis zu einer Bedrohung für die Personen. Personen können die Gefahrensituationen somit wahrnehmen, die Wahrscheinlichkeit das Personen sterben ist jedoch sehr gering.

$$\text{gas-expansion-probability} \in [0, 100]$$

#### 2.1.5 Notausgang-Parameter

Der Parameter zur Einstellung der verfügbaren Notausgänge in der simulierten Welt, `number-of-exits` ist sehr bedeutsam bei der Lokalisierungsgenauigkeit und dem Fluchtverhalten der Personen.

$$\text{number-of-exits} \in [1, 9]$$

Zur dezentralen Orientierung der Personen und Schaffung eines optimalen Fluchtweges, wird auf den Zellulären Automaten zurückgegriffen und die Patches mit Informationen zur Signalstärke jedes Notausganges versehen.

Der Parameter `exit-signal-strength` bildet die maximale Signalstärke bzw. Reichweite der Notausgänge ab. Es ist möglich, dass nicht jedes Patch mit allen Signalinformationen versehen ist, da die Reichweite eines Notausganges zu gering war.

$$\text{exit-signal-strength} \in [0, 1000]$$

Die Aufgabenstellung fordert eine Limitierung Fluchtkapazitäten von Notausgängen. D.h. Notausgänge können maximal `exit-limit` Personen pro Tick evakuieren, sonst werden sie blockiert.

$$\text{exit-limit} \in [1, 300]$$

### 2.1.6 Gradient localization-Parameter

-----  
TODO: Marcell Beschreibung der Parameter, Bedeutung  
-----

`locate-iterations`

$$\text{locate-iterations} \in [0, 100]$$

`approx-dist`

$$\text{approx-dist} \in [0, 200]$$

## 2.2 Personen

Personen sind Agenten, die mit NetLogo als *breed* modelliert werden. Mit einem *breed* kann das Konzept der Kapselung aus der Objektorientierung realisiert werden. Im Kontext einer Person können lokale Variablen deklariert werden, die von den abstrakten Variablen des *breeds* vererbt werden.

Mit diesem Konzept wird ein Lebenszyklus mit verschiedenen Zuständen und Zustandsübergängen für die Personen modelliert.

### 2.2.1 Lebenszyklus

Der Lebenszyklus bestimmt das Verhalten der Personen. Die Zustände und die Zustandsübergänge werden in Abbildung 2.2 mittels eines Zustandsdiagramms beschrieben.

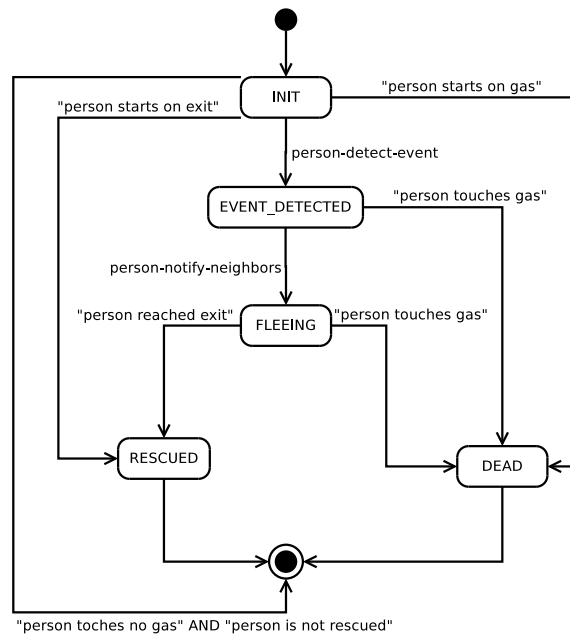


Abbildung 2.2: Zustandsdiagramm der Personen

Nach der Platzierung in der simulierten Welt befinden sich alle Personen im Zustand **INIT**. In diesem Zustand wird ein *random walk* ausgeführt. Die verschiedenen Typen werden im Abschnitt 2.2.2 näher erläutert.

Nimmt eine Person in ihrem Sichtradius **person-detection-radius** ein Gefahrenereignis wahr, geht die Person in den Zustand **EVENT\_DETECTED** über. Hier versucht die Person andere Personen in der Umgebung zu warnen. Näheres ist dem Kommunikationsmodell im Abschnitt 2.2.3 zu entnehmen.

Nach dem Benachrichtigungsversuch wechselt die Person in den Zustand **FLEEING**, bei dem die Person vor der Gefahrensituation flüchtet und versucht einen Notausgang zu erreichen. Zur Flucht wird ein anderes Bewegungsmodell verwendet, welches im Abschnitt 2.2.2 beschrieben wird. Während der Flucht kann die Person weitere Gefahrensituation detektieren.

Erreicht die Person einen nicht blockierten Notausgang, ist sie gerettet und im Zustand **RESCUED**. Die Person wird aus der Simulationsumgebung entfernt.

Bei einer Berührung mit dem Giftgas stirbt eine Person jedoch immer. Sie ist dann im Zustand **DEAD**. Eine Interaktion ist mit ihr nicht mehr möglich.

### 2.2.2 Bewegungsmodell

Für die Personen existieren zwei unterschiedliche Bewegungsmodelle, zum einen für Personen im INIT Zustand und zum anderen für Personen im FLEEING Zustand. Beide Modelle werden folgend erklärt.

#### Initiales Bewegungsmodell

Für das initiale Bewegungsmodell kann der Nutzer zwischen drei Arten eines *random walks* wählen. Der rudimentäre *random walk* wird in Algorithmus 1 beschrieben. Dieser dient als Grundlage für die weiteren Arten.

---

**Algorithmus 1** random-walk

---

```
nb ← one-of neighbors
while [patch-state] of nb = WALL do
  nb ← one-of neighbors
end while
face nb
forward 1
```

---

Algorithmus 1 beschreibt die Wahl eines benachbarten Patches, welche als Wahl einer von acht neuen Richtungen interpretiert werden kann. Bei dem Algorithmus wird lediglich auf eine Wand-Kollision geprüft und solange eine Wand in der beabsichtigten Richtung steht, wird eine neue Richtung gesucht.

Eine weitere Strategie für den *random walk* ist **straight with collision detection**. Dabei speichert eine Person lokal die letzte Orientierung, das sogenannte **heading**, und bewegt sich in diese Richtung bis zu einer Wand-Detektion. An dieser Stelle wird Algorithmus 1 ausgeführt und die neue Orientierung gespeichert.

Bei der letzten Strategie **straight with probability** wird auch die letzte Orientierung lokal gespeichert, hier bestimmt jedoch der **random-walk-probability**-Parameter die Wahrscheinlichkeit der Ausführung von Algorithmus 1. Eine Wand-Detektion wird zusätzlich durchgeführt.

#### Bewegungsmodell bei der Flucht

Nachdem eine Person ein Gefahrenereignis wahrgenommen hat, flieht sie zu dem nächsten verfügbaren Notausgang. Der optimale Fluchtweg wird über Informationen der Signal-Stärke von Notausgängen von den Personen lokal ermittelt. Abbildung

2.3 zeigt exemplarisch den Fluchtweg einer Person. Für die Algorithmik zur Wertevergabe auf den Patches sei auf Kapitel 3 verwiesen.

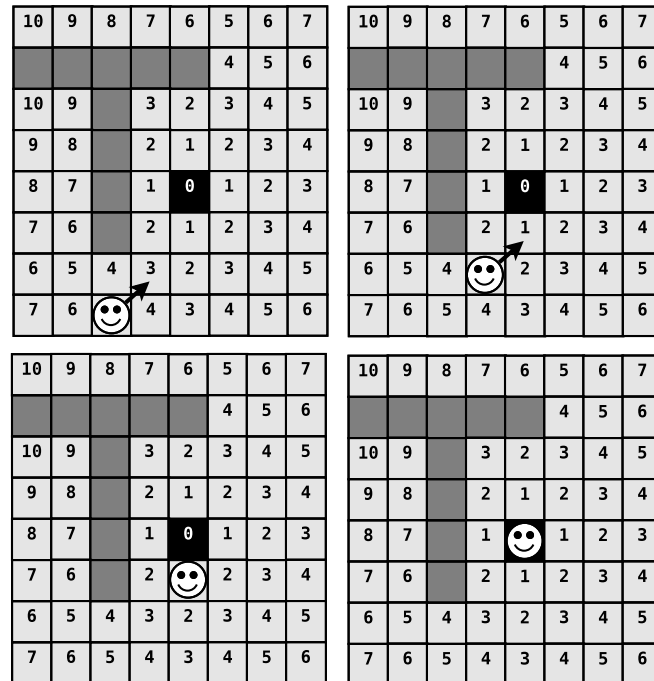


Abbildung 2.3: Fluchtwegermittlung

Der Algorithmus für die Fluchtwegbestimmung wird auf Grund der hohen Komplexität an dieser Stelle nicht komplett vorgestellt. Da zum Beispiel die Verfügbarkeit von Notausgängen oder Ausnahmebehandlungen berücksichtigt werden müssen. Das Prinzip verdeutlicht Algorithmus 2. Bei dem die Person in der lokalen Umgebung nach dem Patch mit der geringsten Zahl bzw. der geringsten Dämpfung des Signals eines Notausganges sucht.

Die Information über die Verfügbarkeit eines Notausganges wird von diesem durch das Kommunikationsnetzwerk der Personen gebroadcastet. Eine Beschreibung dazu ist dem Abschnitt 2.3.2 Kommunikationsmodell der Notausgänge zu entnehmen.

### 2.2.3 Kommunikationsmodell

Für die Warnung anderer Personen wird das Kommunikationsmodell *Basic Flooding* aus der Vorlesung implementiert. Die identifizierende Meldung lautet hier `event-detected` und die beiden Zustände für das *Basic Flooding* werden mit `EVENT_DETECTED` und `FLEEING` ausgedrückt.

**Algorithmus 2** person-move-to-exit

---

```

nb ← -1
min-noise ← ∞
ask neighbors [                               ; iterate all 8 neighbors
if min-noise > signal-noise then
    min-noise ← signal-noise                 ; define best signal and direction
    nb ← self
end if
]
face nb
forward 1

```

---

Algorithmus 3 zeigt, zur besseren Einordnung, die Einbettung des Kommunikationsprotokolls in den Lebenszyklus der Person. Es sei darauf hingewiesen, dass auf eine spontane Zustandsänderung einer Person, wie es in dem *Basic Flooding*-Protokoll angegeben ist, verzichtet wird. Die Detektion einer Gefahrensituation präzisiert diesen Zustandsübergang in diesem Fall präziser.

Das Fluten mit Meldungen ist jedoch ohne eine sinnvolle Netzwerktopologie nicht möglich. Mit dem Parameter **graph-type** hat der Nutzer die Möglichkeit den Graph-Typen des Kommunikationsnetzwerks anzupassen.

Allerdings wird in den meisten Fällen keine statische Knoten-Positionierung vorliegen<sup>1</sup>. Es wird daher nach jedem Tick der gesamte Kommunikationsgraph neu aufgebaut. Auf eine Ausnahmebehandlung für Personen ohne Positionsänderung wird verzichtet.

Zur visuellen Unterstützung erhalten Personen im Zustand **EVENT\_DETECTED** das Label „!“. Der initiale Broadcast zur Warnung anderer Personen wird mit orange gefärbten Kanten und der Zustand **FLEEING** mit dem Label „\*“ ausgedrückt.

## 2.3 Notausgänge

Notausgänge sind statische Agenten, für die eine eigene *breed* analog zu den Personen angelegt wurde. Die Notausgänge verfügen über einen Lebenszyklus und ein Kommunikationsmodell zur Übermittlung ihrer Zustandsinformationen an nahe Personen.

---

<sup>1</sup>Eine statische Knoten-Positionierung wird mit *walk-probability* = 0 erzielt.

**Algorithmus 3** Warnung vor Gefahrensituationen

*State Trans. Sys.:*  $\langle \{\text{INIT}, \text{EVENT\_DETECTED}, \text{FLEEING}, \text{RESCUED}\}, \{\text{INIT}, \text{DEAD}\}, \{\text{INIT}, \text{EVENT\_DETECTED}, \text{DEAD}\}, \{\text{INIT}, \text{EVENT\_DETECTED}, \text{FLEEING}, \text{DEAD}\}, \{\text{FLEEING}, \text{EVENT\_DETECTED}\} \rangle$

*Initialization:* All nodes in state INIT

*Restrictions:* Reliable communication; connected, bidirected communication graph  $G = (V, E)$ , neighborhoodfunction nbr:  $V \rightarrow 2^V$

*Local data:*

**INIT**

Receiving(*event\_detected*)

**while** *not event\_detected* **do**

    random-walk

    create-graph( $G$ )

*; generate complete new graph*

**end while**

become EVENT\_DETECTED

**if** touching-gas **then**

    become DEAD

**end if**

**EVENT\_DETECTED**

broadcast(*event\_detected*)

*; broadcast event detection to linked neighbors*

become FLEEING

**if** touching-gas **then**

    become DEAD

**end if**

**FLEEING**

**if** msg = event-detected **then**

    broadcast(*event\_detected*); *forwarding event detection msg to linked neighbors*

**end if**

**while** *not person-reach-exit* **do**

    person-move-to-exit

*; using orientation-algorithm*

    create-graph( $G$ )

*; generate complete new graph*

**if** event\_detected **then**

        become EVENT\_DETECTED

**end if**

**if** touching-gas **then**

        become DEAD

**end if**

**end while**

become RESCUED

**RESCUED**

create-graph( $G$ )

*; generate complete new graph without note*

**DEAD**

create-graph( $G$ )

*; generate complete new graph without note*



### 2.3.1 Lebenszyklus

Der Lebenszyklus eines Notausgangs ist in drei Zustände unterteilt. Im Zustand **INIT** befinden sich alle Notausgänge nach der Platzierung auf der Welt. Während des Zustandsübergangs zu **NEGOTIABLE** wird die Logik für den gewählten Orientierungsalgorithmus ausgeführt. In der Regel wird die Welt mit Signalinformationen ausgehend von jedem Notausgang geflutet. Der Algorithmus wird in Kapitel 3 vorgestellt. Die Ausführung dauert entsprechend der (Patch-)Auflösung lange.

Ist ein Notausgang im Zustand **NEGOTIABLE**, bestehen zwei Möglichkeiten in den Zustand **BLOCKED** zu gelangen. Temporär blockiert ist ein Notausgang, wenn zu viele Personen gleichzeitig versuchen das Gebäude zu verlassen. Der Parameter **exit-limit** definiert die Obergrenze. Nach einem Tick wird der Notausgang wieder zurückgesetzt. Erreicht das Giftgas bzw. die Gefahrensituation einen Notausgang, so wird dieser permanent in den Zustand **BLOCKED** über.

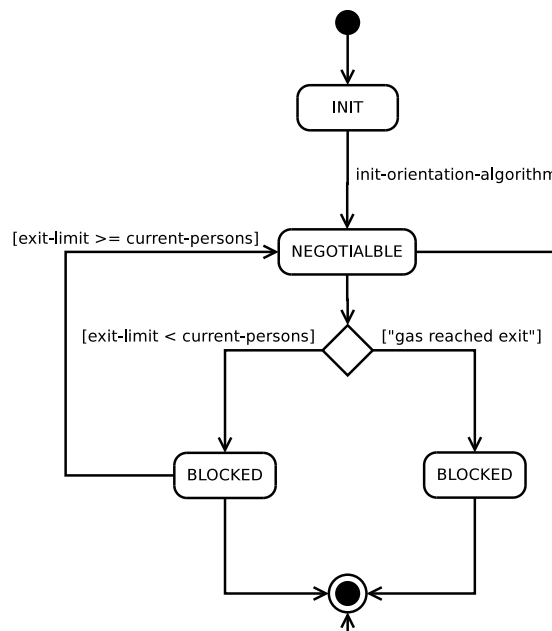


Abbildung 2.4: Zustandsdiagramm der Notausgänge

### 2.3.2 Kommunikationsmodell

Die Notausgänge befinden sich im gleichen Kommunikationsnetzwerk, wie die Personen. Eine Unterscheidung zu anderen Netzwerken bzw. Links wird über Typ-

Definitionen und visuell über den Shape durchgeführt.

Für die Verbreitung der Passierbarkeit wird das *Basic Flooding* implementiert. Algorithmus 4 zeigt das eingebettete Protokoll innerhalb des Lebenszyklus von Notausgängen.

Die Notausgänge broadcasten bei Statuswechsel eine positive oder negative Passierbarkeitsmeldung und ihren Identifier im Netzwerk. Personen in Reichweite empfangen die Meldung **exit-blocked** oder **exit-negotiable**, speichern die Information lokal in einem binären Array ab und broadcasten die Meldung an die benachbarten Personen. Bei  $n = 3$  Notausgängen verfügt jede Person über ein  $n$ -äres Array mit Nullen oder Einsen. Null steht für blockiert, Eins für passierbar.

## 2.4 Gefahrensituationen

Eine Gefahrensituation liegt vor, wenn nur ein Gefahrenereignis aktiviert wurde. Die Gefahrenereignisse werden als *breed* modelliert.

### 2.4.1 Lebenszyklus

Die Zustandsübergänge von Gefahrenereignissen verlaufen sequentiell. Alle Events beginnen nach der Platzierung im Zustand **INIT** und enden im Zustand **DONE**. Abbildung 2.5 zeigt ebenfalls die beiden weiteren Zustände **COUNTDOWN** und **GASSING**.

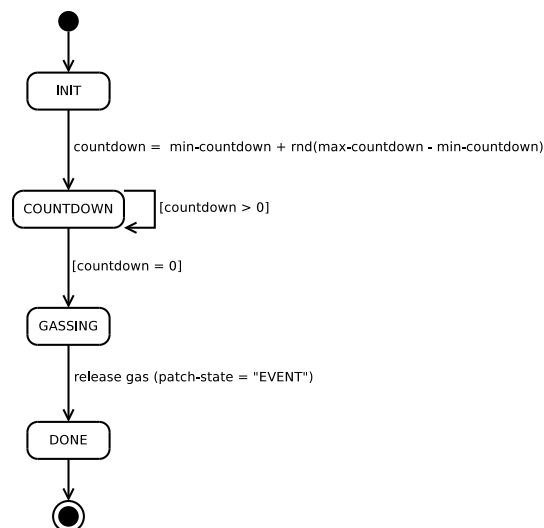


Abbildung 2.5: Zustandsdiagramm der Gefahrenereignisse

---

**Algorithmus 4** Passierbarkeitsmeldungen der Notausgänge

---

*State Trans. Sys.:*  $\langle \{\text{INIT}, \text{NEGOTIABLE}, \text{BLOCKED}\}, \{\text{NEGOTIABLE}, \text{BLOCKED}\}, \{\text{BLOCKED}, \text{NEGOTIABLE}\} \rangle$

*Initialization:* All nodes in state INIT

*Restrictions:* Reliable communication; connected, bidirected communication graph  $G = (V, E)$ , neighborhoodfunction  $\text{nbr}: V \rightarrow 2^V$

*Local data:* *current-persons*, *exit-limit*

**INIT**

... ; *init-orientation-algorithm*  
become NEGOTIABLE

**NEGOTIABLE**

negotiable  $\leftarrow$  true  
**while** *negotiable* **do**  
    broadcast(*exit-negotiable*) ; *continious broadcast*  
    **if** *current-persons* > *exit-limit* **then**  
        negotiable  $\leftarrow$  false  
    **end if**  
    **if** *gas-reached-exit* **then**  
        negotiable  $\leftarrow$  false  
    **end if**  
**end while**  
become BLOCKED

**BLOCKED**

negotiable  $\leftarrow$  false  
**while** *notnegotiable* **do**  
    broadcast(*exit-blocked*) ; *continious broadcast*  
    **if** *current-persons*  $\leq$  *exit-limit* **then**  
        negotiable  $\leftarrow$  true  
    **end if**  
**end while**  
become NEGOTIABLE

---

Mit dem Start der Simulation gehen alle Events in den Zustand **COUNTDOWN** über, in der lokal vorgehaltene zufällige Countdown pro Tick herunter gezählt wird. Steht der Countdown bei Null, geht das Gefahrenereignis in den Zustand **GASSING** über.

In diesem Zustand wird die Freisetzung des Gases initiiert. Die Ausbreitung des Gases ähnelt dem Fluten mit Signal-Informationen auf Kapitel 3.

## 2.5 Patches

Die Patches können in NetLogo nicht als *breed* modelliert werden. Die Funktionsaufrufe aus dem Kontext eines Patches sind daher problematisch. Es können keine Kontrollstrukturen oder ordentliche Zustandsübergänge zentral erstellt werden. Es wird daher von impliziten Zuständen von Patches die Rede sein.

### 2.5.1 Implizite Zustände

Mit der Initialisierung aller der Patches nach dem Einbinden eines Grundrisses passiert die Zustandsfestlegung anhand der Farbe eines Patches. Für diesen Schritt kann generell zwischen zwei Zuständen unterschieden werden. **NONE** wird als leerer Raum angenommen, in dem sich Signal mit geringer Dämpfung ausbreiten können, Personen sich bewegen können ebenso wie das Giftgas. Der leere Raum wird im Grundriss über die Farbe **white** ausgedrückt.

Patches mit der Farbe **black** oder alle anderen Farben werden als Wände und Materialien mit hoher Dämpfung interpretiert. Die Patches gehen in den Zustand **WALL** über. Dieser Zustand ist statisch.

Auf Patches im Zustand **NONE** werden die Personen, die Notausgänge und die Gefahrenereignisse platziert. Außerdem werden nur diese Patches mit Signal-Informationen geflutet. Ist dies der Fall, so nehmen die Patches die Zustände **SPREADING**, **IDLE** und **DONE** an.

Patches im Zustand **SPREADING** sind erstmalig von einem Notausgang mit Signalinformationen versehen worden. Patches in diesem Zustand verteilen die Signalstärke bzw. die Dämpfung an ihre benachbarten Patches, bei jedem Schritt wird die Dämpfung inkrementiert. Die Patches direkt unter einem Notausgang sind dabei die Ausgangspunkte für das Fluten.

Sobald ein Patch die Signal-Informationen von allen Notausgängen lokal gespeichert hat, wechselt es in den Zustand **IDLE**. Hier wird auf ein besseres Signal eines jeden Notausgangs gewartet. Dies ist der Fall bei anderen Lauf- bzw. Ausbreitungswegen der Signalen insbesondere bei Grundrissen mit vielen punktuellen Wandfragmenten

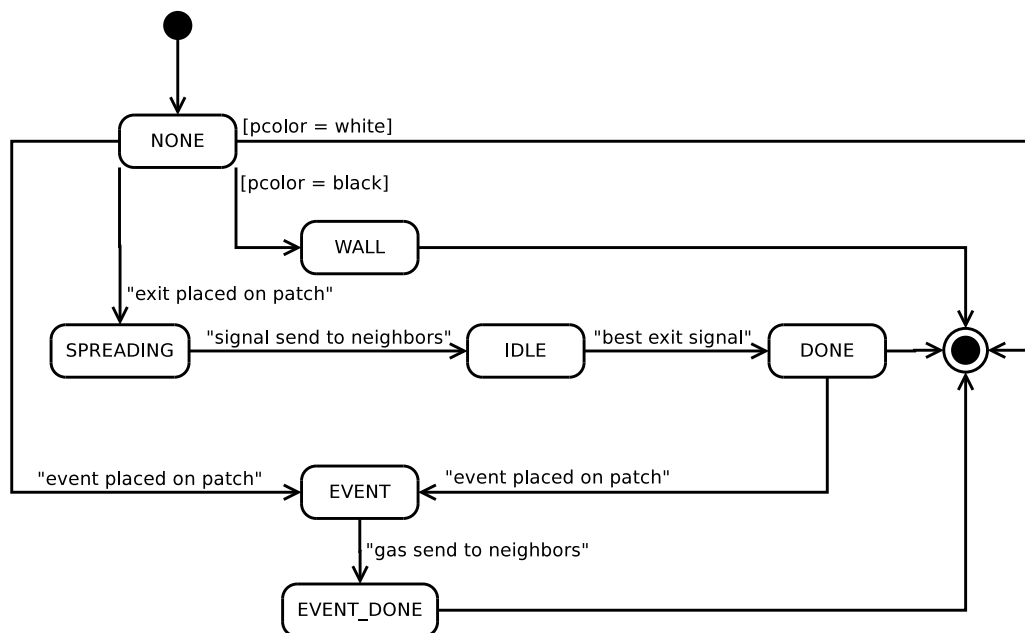


Abbildung 2.6: Zustandsdiagramm der Patches

der Fall. Wird ein besseres Signal festgestellt, wird es verständlicherweise an die benachbarten Patches gemeldet.

Haben alle Patches in der Nachbarschaft einen optimalen Signalwert, geht dieses Patch in den Zustand **DONE** über. Allerdings wird dieser Idealzustand nicht für alle Patches erreicht, insbesondere bei einem niedrigen **exit-signal-strength**-Parameter. Eine Überlappung von zwei bis drei Signalen von Notausgängen ist in fast allen Fällen ausreichend für eine intelligente Flucht. Ist der nächstgelegene Notausgang blockiert, wird der zweitbeste Notausgang von der Person zur Evakuierung genutzt. Mit der Fortbewegung erhält sie permanent neue Informationen zu nahe gelegene oder blockierte Notausgänge.

Nach Abschluss der Signal-Flutung befinden sich die Patches entweder im Zustand **NONE**, sofern die Signalreichweite aller Notausgänge zu gering ist, oder in **DONE** mit Signalinformationen.

Analog zum Fluten mit Signal-Informationen initiieren Gefahrenereignisse direkt unter sich ein Patch im Zustand **EVENT**. Diese Gasfreisetzung bereitet sich genau wie die Signale aus, es wird jedoch nur der Zustand der Patches angepasst. Außerdem ist die Gasausbreitung an Nachbarn als einmalig initial und darauf folgend als kontinuierlich anzusehen. Patches, die die Event-Information an ihre Nachbarn weitergegeben haben, wechseln in den Zustand **EVENT\_DONE**. Die Patches werden programma-

tisch bei der weiteren Ausbreitung ausgeschlossen. Es ist eine Laufzeitreduzierung festzustellen.

Personen detektieren Patches im Zustand `EVENT` und `EVENT_DONE` als Gefahrensituation.

## 2.6 Ressourcen der Simulationsumgebung

Die Simulationsumgebung wird über die Datei `Evakuierung.nlogo` gestartet. Der Programmcode ist nach Funktion und *Breed*-Klasse unterteilt.

### Gefahrensituationen

`event.nls`  
`event-gassing.nls`

Die Quellcode-Datei `event.nls` beinhaltet den Lebenszyklus der Gefahrenereignisse und deren Zustandsübergangsprotokoll. Mittels `event-gassing.nls` wird die Ausbreitung des Giftgases implementiert, die größtenteils den Patch-Lebenszyklus manipuliert.

### Lokalisierung

`locate.nls`

In dieser Datei wird der Algorithmus zur Lokalisierung aus dem Paper [2] implementiert.

### Notausgänge

`exit.nls`  
`exit-cellular-automaton.nls`  
`exit-gsn.nls`

Die Quellcode-Datei `event.nls` steuert den Setup und den Lebenszyklus der Notausgänge. Mittels `exit-cellular-automaton.nls` wird der Orientierungsalgorithmus auf Basis des zellulären Automats realisiert. Letztlich definiert die Datei `exit-gsn.nls` das Kommunikationsmodell zur Übermittlung der Statusinformationen.

## Personen

`person.nls`  
`person-gsn.nls`  
`person-linking.nls`

`person.nls` regelt den Setup der Personen und deren Lebenszyklus. `person-gsn.nls` umfasst den Quellcode für die Kommunikation zwischen Personen und mit der Datei `person-linking.nls` wird der Graph zwischen Personen erstellt.

## Simulationswelt

`patch.nls`

Hier wird der Quellcode für den Lebenszyklus der *Patches* definiert.

## **3 Algorithmik**

### **3.1 Gradienten Lokalisierung**



### 3.2 Zellulärer Automat

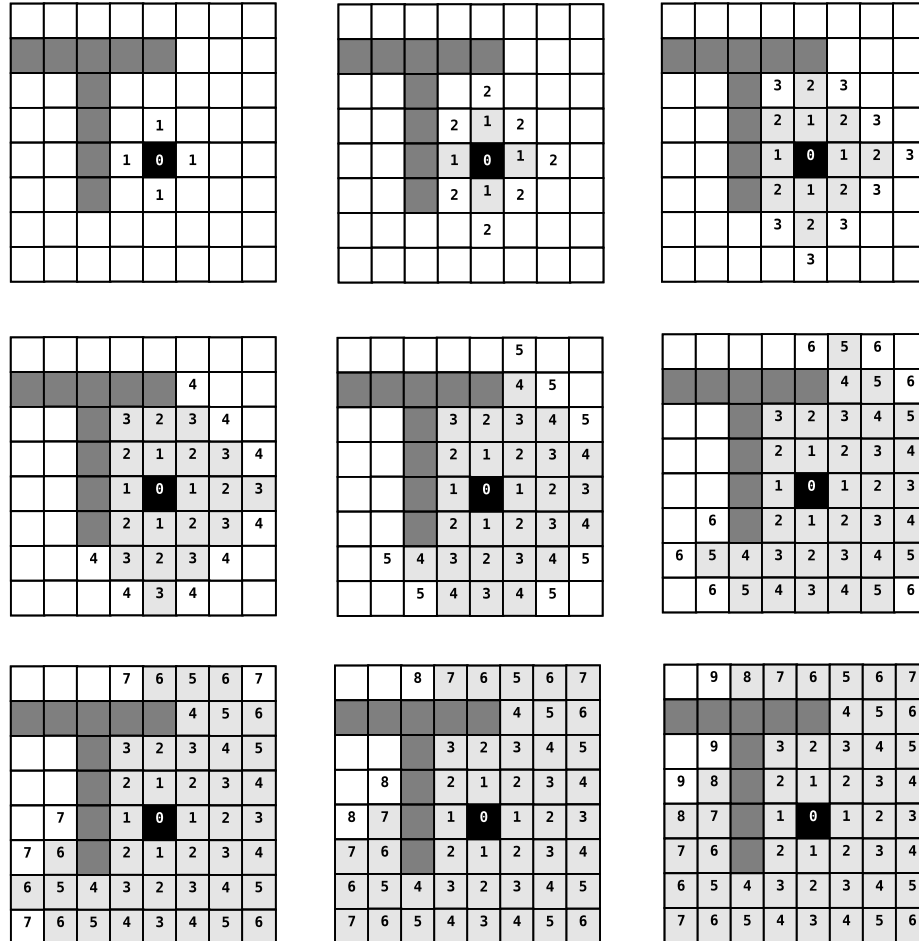


Abbildung 3.1: Fluten der Patches (Zellulärer Automat)

## **4 Evaluation**

### **4.1 Effizienz**

### **4.2 Fazit**

### **4.3 Ausblick**

**Alternativer Orientierungsalgorithmus**

---

Als alternativer Orientierungsalgorithmus zur lokalen Fluchtwegfindung kann der *Bug-0-Algorithmus* dienen.

## Literaturverzeichnis

- [1] Isaac Amundson and Xenofon D. Koutsoukos. *A Survey on Localization for Mobile Wireless Sensor Networks*. Department of Electrical Engineering and Computer Science, Vanderbilt University.
- [2] Jonathan Bachrach, Radhika Nagpal, Michael Salib and Howard Shrobe. *Experimental Results for and Theoretical Analysis of a Self-Organizing Global Coordinate System for Ad Hoc Sensor Networks*. Telecommunication Systems, page 213–233. 2004.
- [3] Uri Wilensky. *Netlogo*. Center for Connected Learning and Computer-Based Modeling, Northwestern University, Evanston, IL. 1999. <http://ccl.northwestern.edu/netlogo/>, Stand: 26.01.2014.